

• 论著—实验研究 •

# 慢病毒 RNA 干扰 GRP78 对肾癌细胞生物学行为的影响研究\*

付伟金<sup>1</sup> 吕佰豪<sup>1</sup> 顾恺龙<sup>1</sup>

**[摘要]** 目的:探讨慢病毒 RNA 干扰 GRP78 蛋白后对肾癌细胞生物学行为的影响。方法:构建慢病毒靶向 siRNA-GRP78 干扰载体进入肾癌细胞株。转染 48 h 后使用 Realtime-PCR 和 Western blotting 检测 GRP78 基因和蛋白表达,MTT 法和 transwell 法分别检测肾癌细胞增殖和侵袭力。结果:转染 48 h 后,Realtime-PCR 和 Western blotting 检测证实 siRNA1 抑制 GRP78 基因和蛋白效率最佳。SiRNA1-GRP78 可抑制肾癌细胞增殖和降低细胞侵袭力,促进细胞凋亡,阻滞细胞于 G1 期。结论:慢病毒 RNA 干扰可有效抑制肾癌细胞中 GRP78 基因和蛋白表达,GRP78 表达下调影响肾癌细胞增殖和降低细胞侵袭力,诱导细胞凋亡,阻滞细胞于 G1 周期。GRP78 可能成为肾癌治疗新靶点。

**[关键词]** 慢病毒 RNA 干扰;GRP78;增殖;侵袭力;细胞凋亡;细胞周期

doi: 10.13201/j.issn.1001-1420.2016.12.018

**[中图分类号]** R737.11 **[文献标识码]** A

## Research on the effect of lentivirus-siRNA-GRP78 on biological behavior of renal cell carcinoma

FU Weijin LV Baihao GU Kailong

(Department of Urology, First Affiliated Hospital of Guangxi Medical University, Nanning, 530021, China)

Corresponding author: FU Weijin, E-mail: fuwj66@aliyun.com

**Abstract Objective:** To investigate the effect of lentivirus-siRNA-GRP78 on biological behavior of renal cell carcinoma (RCC). **Method:** According to GRP78 gene sequences, we constructed three siRNA -GRP78 sequences and one scrambled siRNA sequence, which were transfected into RCC cell line 786-0. After transferring for 48h, we identified the expression level of GRP78 mRNA and protein by realtime-PCR and Western blot for selecting the optimal inhibiting siRNA-sequence. MTT, transwell, Annexin V, PI were used respectively to detect the ability of cell proliferation, cell invasion, cell apoptosis and cell cycle. **Result:** Subsequent experiments have focused on the siRNA1 because it was the most effective in inhibiting GRP78 mRNA and protein expression. SiRNA1-GRP78 may inhibit the cell proliferation, attenuate cell invasion, induce cell apoptosis and block cell cycle in G1 stage. **Conclusion:** Lentivirus-siRNA-GRP78 can effectively inhibit the expression GRP78 mRNA and protein, and the down-regulation of GRP78 expression could inhibit cell proliferation, attenuate cell invasion, induce cell apoptosis, block cell cycle in G1 stage. GRP78 may be a promising therapeutic target for RCC.

**Key words** lentivirus-siRNA; GRP78; proliferation; invasion; cell apoptosis; cell cycle

葡萄糖调节蛋白 78 (glucose regulated protein78,GRP78)是 GRP 家族中的重要成员,与热休克蛋白(heat shock protein70, HSP70)有较高的同源性,属于 HSP 70 家族的成员之一。GRP78 在肿瘤细胞株和肿瘤组织如肝癌、结肠癌及乳腺癌、神经胶质细胞瘤等高表达<sup>[1,2]</sup>,并可能与肿瘤的凋亡、耐药密切相关,我们前期研究已证实 GRP78 在肾癌中高表达,可能与肾癌的发生、发展密切相关<sup>[3,4]</sup>。但 GRP78 表达与肾癌细胞体外增殖、细胞周期及细胞凋亡、细胞侵袭力等生物学特性相关研究少见<sup>[5,6]</sup>。本研究拟利用 RNA 干扰慢病毒载体

转染肾癌细胞株,探讨下调 GRP78 表达后对肾癌细胞体外增殖、侵袭力、细胞周期及细胞凋亡等相关生物学特性的影响。

### 1 材料与方法

#### 1.1 实验材料

人肾癌细胞株 786-0 细胞购自中科院上海细胞库, RPMI 1640 培养基、胰蛋白酶、胎牛血清、转染试剂 Lipofectamine2000 购自美国 Invitrogen 公司, 慢病毒 shRNA 购自上海汉恒公司, 聚合酶链反应(PCR)试剂盒购自日本 TaKaRa 公司, PCR 引物由上海生工公司合成, 兔抗小鼠 GRP78 单克隆抗体购自美国 Abcam 公司。

#### 1.2 实验分组

实验分为空白对照组(blank group)、阴性对

\*基金项目:广西自然科学基金资助项目(编号 2012GXNSFBA053087)

<sup>1</sup>广西医科大学第一附属医院泌尿外科(南宁,530021)  
通信作者:付伟金,E-mail: fuwj66@aliyun.com

照组(scramble siRNA)和 siRNA1、siRNA2、siRNA3 组共 5 组,空白对照组不做任何处理,阴性对照组转染 scramble siRNA 序列,试验组转染不同的 siRNA 序列(各组序列详见表 1)。

表 1 各干扰序列组成

名称	序列
SiRNA1	GAGCGCATTGATACTAGAAAT
SiRNA2	AGATTCACTGGTTAAAG
SiRNA3	CTTGTGTTGGCTCGACTCGA
Scrambled siRNA	TTCTCCGAACGTGTCACGTAA

### 1.3 细胞培养及转染

将处于对数生长期的 786-0 细胞按说明书用转染培养液和试剂转染各组,置 37 °C, 5%CO<sub>2</sub> 培养箱中培养 6 h 后更换 RPMI1640 培养液(含 10% 胎牛血清,5%CO<sub>2</sub>、37 °C),转染 48 h 后在荧光显微镜下观察转染效率,随机选取 10 个视野拍照,并用 Image Pro Plus 软件计数分析。

### 1.4 实时定量聚合酶链反应(Real-time PCR)

各组转染 48 h 后,按 Trizol 说明书提取各组细胞总 RNA,按 TaKaRa 公司说明书进行逆转录,在 StepOne III 系统上行 Real-time PCR。内参 GAPDH 上游引物: 5'-CGCTCTCTGCTCCTC-CTGTT-3', 下游引物: 5'-5CCATGGTGTCT-GAGCGATGT-3'; GRP78 上游引物: 5'-GAAAGAAGGTTACCATGCAGT-3', 下游引物: 5'-CAGGCCATAAGCAATAGCAGC-3'。PCR 循环: 95 °C 30 s 预变性, 95 °C 5 s, 60 °C 30 s, 72 °C 5 min 共 40 个循环,各组实验重复 3 次。

### 1.5 免疫蛋白印迹(Western blotting)

各组转染 48 h 后,用细胞裂解液提取总蛋白,测蛋白浓度。配置 10% 的分离胶和 5% 的浓缩胶,每孔上 40 μg 蛋白进行 SDS-PAGE,转至 PVDF 膜。膜经封闭后,加兔抗小鼠 GRP78 单克隆抗体,4 °C 过夜。经洗涤,加二抗室温孵育 2 h,洗涤后,DAB 显色,成像,各组实验重复 3 次。

### 1.6 噻唑蓝(MTT)检测

各组转染 48 h 后,细胞按  $3 \times 10^6$ /L 的密度接种于 96 孔板内,每组设 6 个复孔,分别于 24、48、72 h 取出,加入 MTT 试剂后在培养箱中孵育 4 h 吸出上清,每孔加入二甲基亚砜(DMSO)150 μl,振荡混匀使结晶充分溶解。在酶标仪上测定各孔在 490 nm 处的吸光度(A)值,计算抑制率,各组实验重复 3 次。

### 1.7 Transwell 侵袭实验

各组转染 48 h 后,在直径为 8 μm 的小室内铺用无血清 DMEM 稀释的基质胶,取对数生长期的各组细胞,浓度为  $1.25 \times 10^6$  个/ml 的细胞悬液

400 μl 细胞种入上室,下室加入含 10% 血清 DMEM 600 μl; 培养 48 h 后,取出小室,PBS 洗涤,棉签拭去小室上层未穿出细胞和基质胶,固定并染色。观察照相,按每组不少于 5 个随机视野计数穿出细胞,各组实验重复 3 次。

### 1.8 Annexin V 检测细胞凋亡

各组转染 48 h 后,使用冰 PBS 洗涤细胞两次,再用 1×Binding Buffer 缓冲液制成  $1 \times 10^6$  细胞/ml 的悬液。加入 100 μl 细胞悬液。加入 Annexin V 与核酸染料各 1 μl 后轻轻混匀,室温避光处放置 15 min。分别加入 1×Binding Buffer 缓冲液 80 μl,1 h 内上流式细胞仪测定结果。检测结果用 Cflow Plus 软件分析。

### 1.9 PI 染色检测细胞周期

转染 48 h 后用 PBS 清洗细胞两次,然后用胰酶消化,1 000 rpm 离心 5 min,弃去培养液。各组加入 10 ml PBS 清洗细胞,得到细胞悬液  $1 \times 10^6$ /ml,离心去除 PBS,加入冰预冷的 70% 乙醇,4 °C 冰浴过夜。1 000 rpm 5 min,弃去固定液,PBS 清洗细胞两次。在使用流式细胞仪之前 1 h,用 1 ml 50 μg/ml 的 PI 染液重悬细胞,4 °C 避光 30 min,流式细胞仪分析细胞周期,各组实验重复 3 次。

### 1.10 统计学方法

应用 SPSS18.0 统计软件分析,计量资料采用均数±标准差( $\bar{x} \pm s$ )表示。两组间连续变量采用独立样本 t 检验或方差分析,多组间变量比较采用 ANOVA 检验,  $P < 0.05$  为差异有统计学意义。

## 2 结果

### 2.1 转染效率

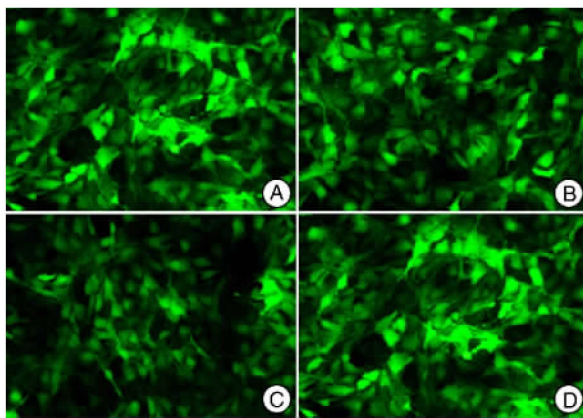
转染 48 h 后,在荧光显微镜下观察,可见大多数细胞的胞质内显示绿色荧光,随机取 10 个视野拍照,用 Image Pro Plus 软件计数分析各组转染效率  $> 70\%$ ,证实各组可进入下一步研究(图 1)。

### 2.2 siRNA 慢病毒干扰对 GRP78 mRNA 表达的影响

与空白对照组( $1.85 \pm 0.08$ )或阴性对照组( $1.79 \pm 0.15$ )比较,GRP78 mRNA 的表达水平在 siRNA1 组( $0.32 \pm 0.09$ )、siRNA2 组( $0.83 \pm 0.07$ )以及 siRNA3 组( $0.79 \pm 0.11$ )均降低,差异有统计学意义( $P < 0.01$ );而空白对照组与阴性对照组的 mRNA 的表达水平差异无统计学意义( $P > 0.05$ )。根据检测结果,siRNA1 抑制 GRP78 mRNA 效率最佳(图 2)。

### 2.3 siRNA 慢病毒干扰对 GRP78 蛋白表达的影响

与空白对照组( $1 \pm 0.03$ )或阴性对照组( $1 \pm 0.07$ )比较,GRP78 mRNA 的表达水平在 siRNA1 组( $0.21 \pm 0.03$ )、siRNA2 组( $0.79 \pm 0.03$ )以及 siRNA3 组( $0.86 \pm 0.04$ )均降低,差异有统计学意



A: siRNA1 组; B: siRNA2 组; C: siRNA3 组; D: 阴性对照组

图 1 荧光显微镜对 48 h 各组转染效率的检测

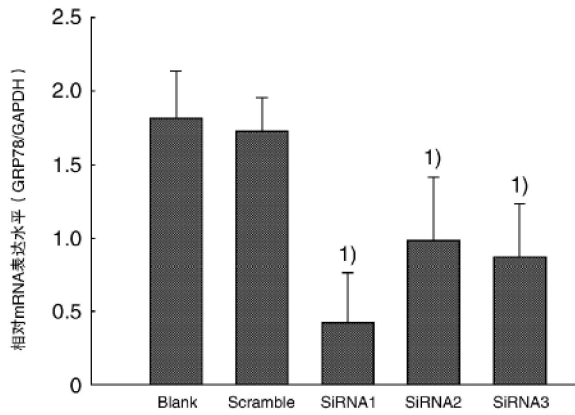
与空白组相比,<sup>1)</sup>  $P < 0.05$ 。

图 2 实时定量聚合酶链反应检测 GRP78 mRNA 表达

义 ( $P < 0.01$ );而空白对照组与阴性对照组 mRNA 的表达水平差异无统计学意义 ( $P > 0.05$ )。根据检测结果,siRNA1 抑制 GRP78 蛋白效率最佳(图 3)。

#### 2.4 干扰 GRP78 对肾癌细胞增殖的影响

与空白对照组和阴性对照组相比,siRNA1 组肾癌细胞生长抑制明显,差异有显著统计学意义 ( $P < 0.01$ ,图 4),随着时间增加,抑制细胞生长作用逐渐增强;而阴性对照组与空白对照组比较,差异无统计学意义 ( $P > 0.05$ )。

#### 2.5 干扰 GRP78 对肾癌细胞侵袭力的影响

与空白对照组( $72 \pm 1.42$ )个细胞和阴性对照组( $71 \pm 13.23$ )个细胞相比,siRNA1 组肾癌细胞生长抑制明显( $26 \pm 3$ )个细胞,差异有显著统计学意义 ( $P < 0.01$ ,图 5);而阴性对照组与空白对照组比较,差异无统计学意义 ( $P > 0.05$ )。

#### 2.6 干扰 GRP78 对肾癌细胞凋亡的影响

空白对照组和阴性对照组细胞凋亡率分别为( $17.66 \pm 3.05$ )% 和 ( $15.66 \pm 2.08$ )%, siRNA1 组细胞凋亡率增加,为( $32.66 \pm 3.21$ )%,组间比较差异有显著统计学意义 ( $P < 0.01$ ,图 6)。

#### 2.7 干扰 GRP78 对肾癌细胞周期的影响

空白对照组和阴性对照组 G1、S、G2/M 分别

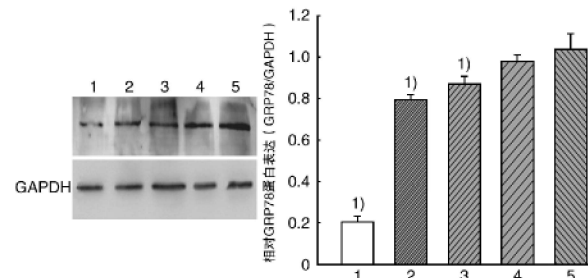
1: siRNA1; 2: siRNA2; 3: siRNA3; 4: Scramble siRNA; 5: Blank; 与空白组相比,<sup>1)</sup>  $P < 0.01$ 。

图 3 免疫蛋白印迹检测 GRP78 蛋白表达

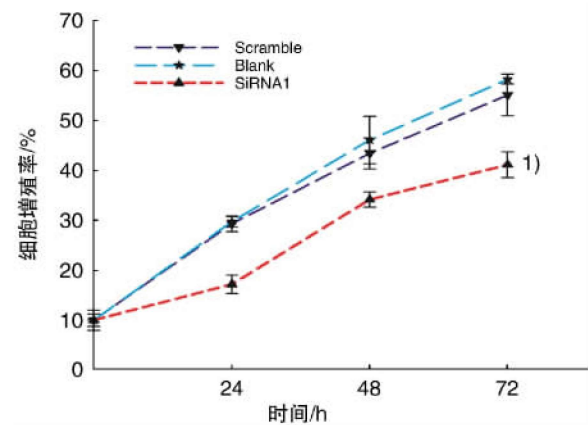
与空白组相比,<sup>1)</sup>  $P < 0.01$ 。

图 4 MTT 法检测细胞增殖抑制率

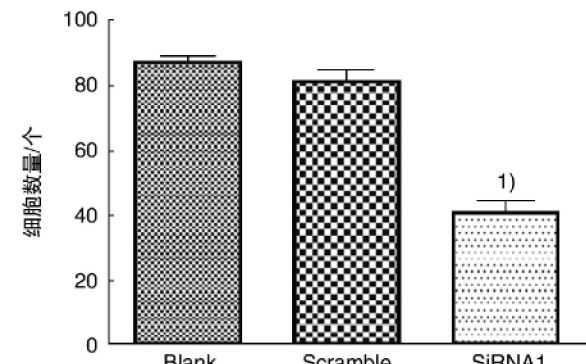
与空白组相比,<sup>1)</sup>  $P < 0.05$ 。

图 5 Transwell 法检测细胞侵袭力

为( $54 \pm 4.36$ )%、( $34.33 \pm 3.51$ )%、( $11.67 \pm 5.51$ )%，( $55 \pm 4.58$ )%、( $32.66 \pm 3.21$ )%、( $11.67 \pm 5.51$ )%; siRNA1 组 G1、S、G2/M 分别为( $65.66 \pm 5.03$ )%、( $28.33 \pm 1.51$ )%、( $6 \pm 2.64$ )%,组间比较差异有统计学意义 ( $P < 0.05$ ,图 7)。

#### 3 讨论

GRP78 在内质网应激(ERS)时表达异常增高,可以看作 ERS 的标志性蛋白。细胞受刺激时 GRP78 高表达现象可能是细胞的一种重要的防御机制,该机制对细胞有保护作用<sup>[7,8]</sup>,高表达可延长细胞生存期。对于肿瘤细胞,GRP78 也存在保护作用,在肿瘤组织如肝癌、结肠癌及肺癌、前列腺癌

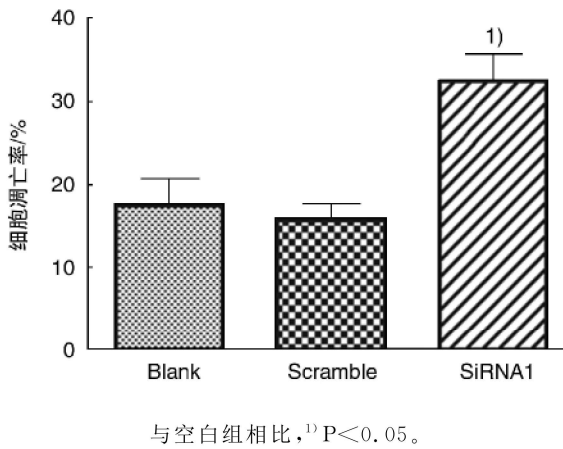


图6 流式细胞检测各组细胞凋亡率

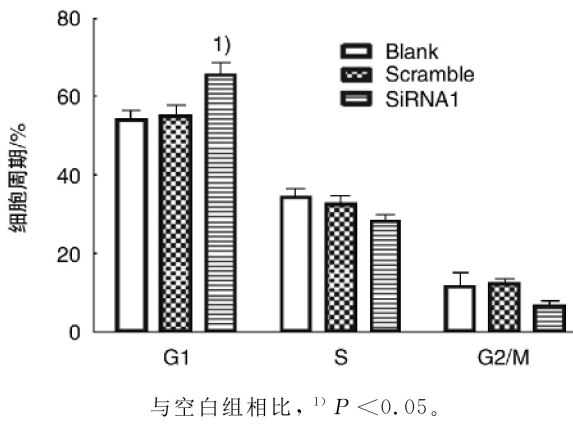


图7 流式细胞检测各组细胞周期

和肿瘤细胞株等高表达。本研究前期对肾癌细胞株及42例肾透明细胞癌(RCC)和癌旁正常肾组织的GRP78 mRNA和蛋白进行检测,发现不同肾癌细胞株中的GRP78 mRNA和蛋白均高表达。同时发现癌组织中GRP78 mRNA和蛋白均显著高于癌旁正常肾组织,其表达可能与肿瘤大小、分期密切相关<sup>[3]</sup>。Kuroda等<sup>[4]</sup>对120例RCC的GRP78表达情况进行研究,发现GRP78表达与预后、复发呈正相关。Lin等<sup>[5]</sup>利用小分子片段RNA干扰下调肾癌细胞内GRP78表达,初步证实下调GRP78蛋白可抑制肾癌细胞增殖,但相关机制未做深入研究。

本研究首先成功构建3条GRP78-RNA干扰慢病毒载体和1条阴性对照GRP78-RNA干扰慢病毒载体,并设置空白对照组,将慢病毒载体和阴性对照载体分别转染至各组,Realtime-PCR和Western blot结果提示RNA干扰GRP78后可以降低GRP78基因和蛋白表达水平,以siRNA1序列抑制效率最佳。后续研究通过MTT法检测细胞增殖,与空白对照组和阴性对照组相比,siRNA1组肿瘤细胞的增殖能力受到明显抑制;Transwell法检测细胞侵袭力,发现siRNA1组肿瘤细胞的侵袭能力下降。同时下调GRP78表达后,肾癌细胞凋亡率和G1期细胞增加,S期细胞比例增加,提示肾癌细胞增殖下降可能与RNA干扰GRP78后产

生细胞凋亡率增加和细胞周期阻滞在G1期有关。以上细胞体外研究结果提示下调GRP78表达后可抑制肾癌细胞增殖,降低细胞侵袭力,增加肾癌细胞凋亡及阻滞细胞于G1A期,提示GRP78可能是调控肾癌细胞生长和侵袭力的重要蛋白。

肿瘤的生长和侵袭是一个复杂的过程,涉及多个通路及多种机制<sup>[9,10]</sup>。而GRP78是通过何种机制参与调控肾癌细胞生长及促进细胞侵袭力,目前还不清楚,下一步本研究将探讨GRP78调控肾癌细胞生长及侵袭力的具体机制。

综上所述,本研究采用Realtime-PCR和Western blot印迹技术检测了慢病毒RNA干扰肾癌细胞株后GRP78 mRNA和蛋白的表达情况,结果显示GRP78-siRNA1可有效下调GRP78基因和蛋白表达,并可抑制肾癌细胞增殖,降低细胞侵袭力,增加细胞凋亡,提示GRP78有可能成为肾癌基因治疗的良好靶点和诊断标记物。

#### [参考文献]

- Yerushalmi R, Raiter A, Nalbandyan K, et al. Cell surface GRP78: A potential marker of good prognosis and response to chemotherapy in breast cancer[J]. Oncol Lett, 2015, 10(4): 2149–2155.
- Su R, Li Z, Li H, et al. Grp78 promotes the invasion of hepatocellular carcinoma[J]. BMC Cancer, 2010, 10: 20.
- Fu W, Wu X, Li J, et al. Up-regulation of GRP78 in renal cell carcinoma and its significance[J]. Urology, 2010, 75(3): 603–607.
- Kuroda K, Horiguchi A, Asano T, et al. Glucose-regulated protein 78 positivity as a predictor of poor survival in patients with renal cell carcinoma[J]. Urol Int, 2011, 87(4): 450–456.
- Lin J A, Fang S U, Su C L, et al. Silencing glucose-regulated protein 78 induced renal cell carcinoma cell line G1 cell-cycle arrest and resistance to conventional chemotherapy[J]. Urol Oncol, 2014, 32(1): 29. e1–e11.
- Matsumura K, Sakai C, Kawakami S, et al. Inhibition of cancer cell growth by GRP78 siRNA lipoplex via activation of unfolded protein response[J]. Biol Pharm Bull, 2014, 37(4): 648–653.
- Ni M, Zhang Y, Lee A S. Beyond the endoplasmic reticulum: atypical GRP78 in cell viability, signalling and therapeutic targeting[J]. Biochem J, 2011, 434(2): 181–188.
- Ron D, Walter P. Signal integration in the endoplasmic reticulum unfolded protein response[J]. Nat Rev Mol Cell Biol, 2007, 8(7): 519–529.
- Luo J, Lee S O, Cui Y, et al. Infiltrating bone marrow mesenchymal stem cells (BM-MSCs) increase prostate cancer cell invasion via altering the CCL5/HIF2 $\alpha$ /androgen receptor signals[J]. Oncotarget, 2015, 6(29): 27555–27565.
- Gao J, Liu X, Yang F, et al. By inhibiting Ras/Raf/ERK and MMP-9, knockdown of EpCAM inhibits breast cancer cell growth and metastasis[J]. Oncotarget, 2015, 6(29): 27187–27198.

(收稿日期:2016-04-22)